

## ПРЕДСТАВЛЕНИЯ ГРУПП ИКОСАЭДРА

© А.Б.Ройчин, А.А.Климов, Л.В.Артамонов

Институт физики полупроводников Академии наук Украины,  
252650 Киев, Украина

(Поступила в Редакцию 26 апреля 1995 г.

В окончательной редакции 12 июля 1995 г.)

Разработан метод получения и получены матрицы всех элементов всех неприводимых представлений групп икосаэдра.

1. Симметрии, содержащие пятиугольные мотивы, в течение длительного времени не вызывали интереса, так как считалось, что соответствующие им образования не реализуются в природе на атомном уровне. В силу этого таким симметриям, как  $C_5$ ,  $C_{5v}$ ,  $D_5$ ,  $D_{5h}$ ,  $Y$ ,  $Y_h$ , особенно двум последним, не уделялось должного внимания, как это делалось, например, для известных 32-точечных групп [1-3]. Однако в последние годы появились многочисленные доказательства того, что подобные симметрии представляют не только академический интерес, но и отражают реальные структуры, в ряде случаев перспективные для применений [4].<sup>1</sup> По-видимому, наибольший интерес вызвало открытие фуллеренов (молекул  $C_{60}$ , обладающих икосаэдрической симметрией (ИС)) и создаваемых на их основе кристаллов — фуллеритов. При этом интерес представляют не только своеобразная структура и симметрия этой новой формы углерода, но и необычные свойства таких веществ. Было, например, показано, что при внедрении в них атомов других элементов могут возникать полупроводниковые, металлические, в том числе и сверхпроводящие свойства [6]. В связи с возможностью внедрения в фуллерены и фуллериты элементов различных групп периодической системы (вплоть до лантанидов и даже урана) [4,7,8] представляются актуальными исследования энергетической структуры, резонансных свойств и других характеристик примесных атомов (ионов) в поле ИС. Для решения этих и многих других задач физики молекул и конденсированных веществ, где проявляется ИС, необходимо знание свойств данной симметрии и соответствующей ей базы данных. Важное место в последней занимают матрицы неприводимых представлений (НП), нахождению которых посвящена данная статья.

<sup>1</sup> Вместе с тем отметим, что уже сравнительно давно изучались системы, для которых некоторые точечные симметрии (например,  $C_{3v}$ ) благодаря специальному расположению атомов аппроксимировались икосаэдрической [5].

2. Различают простую группу симметрии икосаэдра  $Y$  и полную его группу симметрии  $Y_h$ . Группа  $Y$  состоит лишь из поворотов вокруг осей симметрии. Имеются шесть осей пятого порядка и соответственно 24 поворота вокруг этих осей; десять осей третьего порядка и соответственно 20 поворотов; пятнадцать осей второго порядка и соответственно 15 поворотов вокруг этих осей. Вместе с единичным элементом общее число элементов в группе равно, таким образом, 60. С учетом инверсии общее число элементов в группе  $Y_h$  будет 120.  $Y_h = Y \times C_i$ , где  $C_i$  — группа инверсии. Характеры НП группы  $Y_h$  приведены в табл. 1. Индексы  $g$  и  $u$  в ней означают соответственно четность и нечетность состояний по отношению к операциям инверсии. В табл. 1 все элементы группы перенумерованы, что позволяет привести правила последовательного получения всех элементов группы, исходя из их минимального числа (табл. 2). Это обстоятельство будет использовано при получении искомых матриц НП. В случае группы  $Y$ , как показал геометрический анализ операций симметрии группы на примере икосаэдра, в качестве генерирующих элементов можно выбрать два поворота вокруг разных осей пятого порядка. Здесь и далее для определенности выбраны элементы № 2 и 5, соответствующие поворотам на угол  $72^\circ$  вокруг осей  $b \rightarrow a$  и  $d \rightarrow c$ , проходящих через вершины икосаэдра (рис. 1); стрелками указаны направления осей. Система координат выбрана следующим образом: ось  $Z$  — вдоль направления  $b \rightarrow a$ , а другие оси указаны на рис. 2. В случае группы  $Y_h$  к элементам № 2 и 5 в качестве генерирующего добавляется инверсия  $I \equiv № 61$ , и любой элемент, начиная с № 61, получается из элементов группы  $Y$  путем умножения на  $I$ . Поэтому в дополнение к табл. 2 символически можно написать  $60 + n = I \times n$ , где  $n = 1, 2, \dots, 60$ .

Будем различать также двойные группы  $Y'$  и  $Y'_h$ , введение которых необходимо для описания систем с полуцелыми значениями момента количества движения  $J$ . Группа  $Y'$  получается из группы  $Y$  путем добавления элемента  $Q$  — вращения на угол  $2\pi$ , так что  $Y' = Y \times Q$ ,

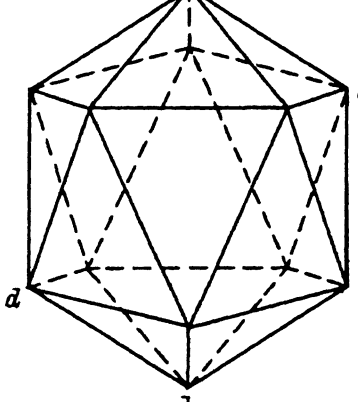


Рис. 1. Икосаэдр: 20 граней, 12 вершин, 30 ребер.

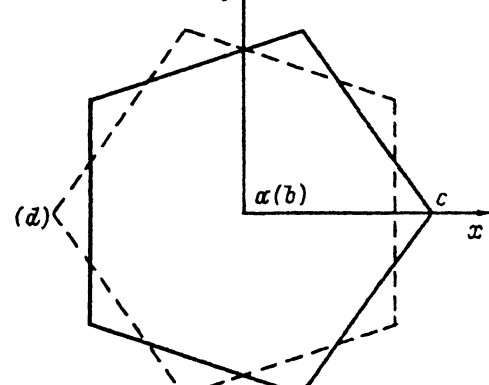


Рис. 2. Проекция икосаэдра на плоскость  $xy$ , проходящую через его центр и перпендикулярную оси  $z$ .

Сплошной линией указана проекция части фигуры, расположенной над плоскостью, штриховой и буквами в скобках — под ней.

Характеры НП группы  $Y_h^*$ 

НП	Классы									
	$1E$	$12C_5^{1,4}$	$12C_5^{2,3}$	$20C_3^{1,2}$	$15C_2^1$	$I$	$12I \times C_5^{1,4}$	$12I \times C_5^{2,3}$	$20I \times C_3^{1,2}$	$15I \times C_2^1$
	1	2–13	14–24	26–45	46–60	61	62–73	74–85	86–105	106–120
$A_g$	1	1	1	1	1	1	1	1	1	1
$A_u$	1	1	1	1	1	-1	-1	-1	-1	-1
$F_{1g}$	3	$\varepsilon_+$	$\varepsilon_-$	0	-1	3	$\varepsilon_+$	$\varepsilon_-$	0	-1
$F_{1u}$	3	$\varepsilon_+$	$\varepsilon_-$	0	-1	-3	$-\varepsilon_+$	$-\varepsilon_-$	0	1
$F_{2g}$	3	$\varepsilon_-$	$\varepsilon_+$	0	-1	3	$\varepsilon_-$	$\varepsilon_+$	0	-1
$F_{2u}$	3	$\varepsilon_-$	$\varepsilon_+$	0	-1	-3	$-\varepsilon_-$	$-\varepsilon_+$	0	1
$G_g$	4	-1	-1	1	0	4	-1	-1	1	0
$G_u$	4	-1	-1	1	0	-4	1	1	-1	0
$H_g$	5	0	0	-1	1	5	0	0	-1	1
$H_u$	5	0	0	-1	1	-5	0	0	1	-1

\*  $C_n^m$  —  $m$ -кратный поворот вокруг оси  $n$ -го порядка; цифра перед обозначением элемента — число элементов в классе;  $\varepsilon_{\pm} = (1 \pm \sqrt{5})/2$ .

Таблица 2

Правило последовательного  
получения всех элементов группы  $Y^*$

1	2	3	4
$14 = 2 \times 2$	$10 = 7 \times 9$	$35 = 2 \times 23$	$48 = 27 \times 35$
$20 = 2 \times 14$	$18 = 6 \times 6$	$30 = 2 \times 24$	$49 = 31 \times 35$
$8 = 2 \times 20$	$24 = 6 \times 18$	$33 = 2 \times 25$	$50 = 26 \times 29$
$17 = 5 \times 5$	$12 = 6 \times 24$	$26 = 36 \times 36$	$51 = 27 \times 29$
$23 = 5 \times 17$	$22 = 10 \times 10$	$37 = 27 \times 27$	$52 = 28 \times 30$
$11 = 5 \times 23$	$4 = 22 \times 22$	$38 = 28 \times 28$	$53 = 31 \times 32$
$3 = 2 \times 11$	$16 = 4 \times 4$	$29 = 39 \times 39$	$54 = 32 \times 33$
$7 = 11 \times 2$	$1 = 2 \times 8$	$40 = 30 \times 30$	$55 = 26 \times 28$
$15 = 3 \times 3$	$27 = 2 \times 3$	$41 = 31 \times 31$	$56 = 30 \times 35$
$21 = 3 \times 15$	$28 = 2 \times 4$	$42 = 32 \times 32$	$57 = 26 \times 31$
$9 = 3 \times 21$	$32 = 2 \times 5$	$43 = 33 \times 33$	$58 = 27 \times 32$
$19 = 7 \times 7$	$44 = 2 \times 6$	$34 = 44 \times 44$	$59 = 28 \times 33$
$25 = 7 \times 19$	$31 = 2 \times 7$	$45 = 35 \times 35$	$60 = 29 \times 34$
$13 = 7 \times 25$	$36 = 2 \times 21$	$46 = 27 \times 30$	
$6 = 2 \times 9$	$39 = 2 \times 22$	$47 = 26 \times 34$	

\* Перемножение следует производить, начиная со столбца 1 сверху вниз.

$Y'_h = Y' \times C_i$ . Группы  $Y'$  и  $Y'_h$  содержат соответственно 120 и 240 элементов. В табл. 3 для краткости приведены лишь четыре НП группы  $Y'$ , соответствующих двузначным представлениям группы  $Y$ . Остальные пять НП группы  $Y'$  можно получить из табл. 1 путем «раздвоения» первых четырех классов в соответствии с обозначениями столбцов табл. 3. При этом характеры в каждой паре классов будут одинаковы и совпадут с приведенными в табл. 1. В случае группы  $Y'$  в качестве генерирующих элементов можно выбрать элементы № 2, № 5 и  $Q$ . Прави-

Таблица 3

Характеры НП группы  $Y'$

НП	Классы								
	1E	1Q	$6C_5^1$ 2-7	$6C_5^4$ 8-13	$6C_5^2$ 14-19	$6C_5^3$ 20-25	$10C_3^1$ 26-35	$10C_3^2$ 36-45	$15C_2^1$ 46-60
	1	1'	$6QC_5^4$ $8'-13'$	$6QC_5^1$ $2'-7'$	$6QC_5^3$ $20'-25'$	$6QC_5^2$ $14'-19'$	$10QC_3^2$ $36'-45'$	$10QC_3^1$ $26'-35'$	$15QC_2^3$ $46'-60'$
$E'_1$	2	-2	$\epsilon_+$	$-\epsilon_+$	$-\epsilon_-$	$\epsilon_-$	1	-1	0
$E'_2$	2	-2	$\epsilon_-$	$-\epsilon_-$	$-\epsilon_+$	$\epsilon_+$	1	-1	0
$G'$	4	-4	1	-1	-1	1	-1	1	0
$I'$	6	-6	-1	1	1	-1	0	0	0

Приимечание. Обозначения те же, что в табл. 1. Штрихами у цифр пронумерованы элементы, получающиеся из нештрихованных путем умножения последних на  $Q$ .

Таблица 4

Правило последовательного получения элементов группы  $Y'^*$

1	2	3	4
$14 = 2 \times 2$	$10' = 7' \times 9$	$35' = 2 \times 23$	$48 = 27' \times 35'$
$20 = 2 \times 14$	$18 = 6' \times 6'$	$30 = 2 \times 24'$	$49 = 31' \times 35'$
$8 = 2 \times 20$	$24' = 6' \times 18$	$33 = 2 \times 25'$	$50 = 26' \times 29'$
$17 = 5 \times 5$	$12 = 6' \times 24'$	$26' = 36' \times 36'$	$51 = 27' \times 29'$
$23 = 5 \times 17$	$22' = 10' \times 10'$	$37 = 27' \times 27'$	$52 = 28' \times 30$
$11 = 5 \times 23$	$4' = 22' \times 22'$	$38 = 28' \times 28'$	$53 = 31' \times 32$
$3' = 2 \times 11$	$16 = 4' \times 4'$	$29' = 39' \times 39'$	$54 = 32 \times 33$
$7' = 11 \times 2$	$1' = 2 \times 8$	$40 = 30 \times 30$	$55 = 26' \times 28'$
$15 = 3' \times 3'$	$27' = 2 \times 3'$	$41 = 31' \times 31'$	$56 = 30 \times 35'$
$21' = 3' \times 15$	$28' = 2 \times 4'$	$42 = 32 \times 32$	$57 = 26' \times 31'$
$9 = 3' \times 21'$	$32 = 2 \times 5$	$43 = 33 \times 33$	$58 = 27' \times 32'$
$19 = 7' \times 7'$	$44 = 2 \times 6'$	$34' = 44 \times 44$	$59 = 28' \times 33$
$25' = 7' \times 19$	$31' = 2 \times 7'$	$45 = 35' \times 35'$	$60 = 29' \times 34'$
$13 = 7' \times 25'$	$36' = 2 \times 21'$	$46 = 27' \times 30$	
$6' = 2 \times 9$	$39' = 2 \times 22'$	$47 = 26' \times 34'$	

\* Перемножение следует производить, начиная со столбца 1 сверху вниз. Невключенные в таблицу оставшиеся 60 элементов получаются из приведенных в таблице путем умножения каждого элемента  $n$  из таблицы на  $Q$ , т.е.  $n = n' \times Q$  или  $n' = n \times Q$ .

Таблица 5

Разложение представления  $D_J$   
на НП групп икосаэдра  $Y$  и  $Y'$  \*

Целые $J$		Полуцелые $J$	
$J$	НП	$J$	НП
0	$A$	$1/2$	$E'_1$
1	$F_1$	$3/2$	$G'$
2	$H$	$5/2$	$I'$
3	$F_2, G$	$7/2$	$E'_2, I'$
4	$G, H$	$9/2$	$G', I'$
5	$F_1, F_2, H$	$11/2$	$E'_1, G', I'$
6	$A, F_1, G, H$		

\* Вторые колонки показывают, какие НП содержатся в представлении  $D_J$ .

ло последовательного получения из них остальных элементов группы приведено в табл. 4. Характеры группы  $Y'_h$  получаются из характеров группы  $Y'$  путем умножения последних на характеры  $(\pm 1)$  группы  $C_i$ , так что в качестве генерирующих элементов здесь выступают элементы № 2, № 5,  $Q$  и  $I$ . Таблицы характеров группы  $Y'_h$  для краткости мы не выписываем.

3. Переходя к описанию методов получения матриц НП, отметим, что, используя методы теории групп [1-3] и табл. 1, 3, можно получить разложение НП группы вращения  $D_J$  на НП групп икосаэдра (ГИ) (табл. 5). Из табл. 5, в частности, видно, что для значений  $J = 0, 1/2, \dots, 2, 5/2$   $D_J$  «разлагается» лишь на одно НП, т.е. представление  $D_J$  и соответствующее ему НП ГИ совпадают. Отсюда следует, что в качестве матриц таких НП ГИ можно выбрать матрицы НП групп вращений. Матричные элементы (МЭ) последних имеют следующий вид [9, 10]:

$$D_J(\alpha, \beta, \gamma)_{ls} = i^{l-s} \left[ \exp i(l\alpha + s\gamma) \right] \left[ (J+l)!(J-l)!(J+s)!(J-s)! \right]^{1/2} \times \\ \times \sum_k (-1)^k \left[ k!(J-k+s)!(J-l-k)!(k-s+l)! \right]^{-1} \times \\ \times \left( \cos(\beta/2) \right)^{2J-l-2k+s} \left( \sin(\beta/2) \right)^{2k-s+l}, \quad (1)$$

где  $l$  и  $s$  принимают значения от  $-J$  до  $+J$ ,  $\alpha, \beta, \gamma$  — углы Эйлера,  $k$  принимает значения, определяемые неравенствами  $k \geq 0$ ,  $k \geq s-l$ ,  $k \leq J-l$ ,  $k \leq J+s$ .

Непосредственно из геометрических построений можно показать, что для элемента № 2  $\alpha = 72^\circ$ ,  $\beta = \gamma = 0$ , для элемента № 5  $\alpha = \gamma = 18^\circ$ ,  $\sin \beta = 2 \cos \beta = 2/\sqrt{5}$ . Этих данных достаточно, чтобы на основании (1) построить матрицы генерирующих элементов для НП  $A(J=0)$ ,

$F_1(J = 1)$ ,  $H(J = 2)$ ,  $E'_1(J = 1/2)$ ,  $G'(J = 3/2)$ ,  $I'(J = 5/2)$ ,<sup>2</sup> а также приводимых представлений (ПП)  $D_3$  и  $D_{7/2}$ , использованных далее.

Для получения матриц элемента № 2 оставшихся НП ( $E'_2$ ,  $F_2$  и  $G$ ) использовался тот факт, что циклическая группа  $C_5$ , имеющая лишь одномерные НП, является подгруппой ГИ, а элемент № 2 соответствует элементу группы  $C_5$ . С этой целью на первом этапе с помощью таблицы характеров устанавливалось, какие НП группы  $C_5$  содержатся в представлениях  $E'_2$ ,  $F_2$ ,  $G$ ,  $D_3 = F_2 + G$  и  $D_{7/2} = E'_2 + I'$  ГИ. На втором этапе с помощью формулы (1) были получены матрицы элемента № 2 для представлений  $D_3$  и  $D_{7/2}$ . Сопоставление полученных на втором этапе диагональных матриц с элементами одномерных матриц — характеров группы  $C_5$  — позволило установить, какие из них (согласно результатам первого этапа) относятся к искомым НП  $E'_2$ ,  $F_2$  и  $G$ . В результате для последних были получены диагональные матрицы для элемента № 2, МЭ которых служат характеристики НП группы  $C_5$ .

Для получения элемента № 5 использовались два подхода. Первый основан на решении системы уравнений для МЭ. Необходимое количество уравнений находилось из требования унитарности матриц (условия ортонормированности их МЭ) и равенства суммы диагональных элементов определенным значениям характеров (табл. 1 и 3). Таким способом были найдены матрицы НП  $E'_2$  и  $F_2$ . Второй подход основан на предварительном отыскании функций, реализующих искомое НП. Этим способом было найдено НП  $G$ . Поскольку  $D_3 = F_2 + G$ , предварительно по известным матрицам представлений  $D_3$  и  $F_2$  методом фактического разложения ПП ( $D_3$ ) на неприводимые [3,10] были найдены функции  $\varphi_i^{F_2}$ , реализующие НП  $F_2$ , в виде линейной комбинации функций  $\psi_M^3$  представления  $D_3$ <sup>3</sup>

$$\varphi_{1,3}^{F_2} = \pm \sqrt{3/5} \psi_{\mp 2}^3 - \sqrt{2/5} \psi_{\pm 3}^3, \quad \varphi_2^{F_2} = \psi_0^3. \quad (2)$$

Искомое выражение для функций  $\varphi_i^G$  НП  $G$  было представлено в следующем виде:

$$\varphi_i^G = \sum_{M=-3}^3 k_{Mi} \psi_M^3. \quad (3)$$

Коэффициенты  $k_{Mi}$  из (3) находились из условия ортонормированности функций (2), (3) и условия удовлетворения функциями (3) преобразования, соответствующего элементу № 2. В результате имеем

$$\varphi_{1,4}^G = \sqrt{3/5} \psi_{\mp 3}^3 \mp \sqrt{2/5} \psi_{\pm 2}^3, \quad \varphi_{2,3}^G = \psi_{\mp 1}^3. \quad (4)$$

На основании (4) и матрицы элемента № 5 представления  $D_3$  получена искомая матрица НП  $G$  элемента № 5.

<sup>2</sup> Матрицы элементов  $I$  и  $Q$  всех НП отличаются от матриц единичного элемента только общим знаком.

<sup>3</sup> Здесь и далее первый (второй) индекс соответствует верхнему (нижнему) знаку.

Все полученные указанными выше способами матрицы в общем случае являются комплексными. В принципе этих данных достаточно для решения любой задачи, требующей знания явного вида матриц НП. Однако в ряде случаев удобно использовать действительные матрицы, соответствующие, например, обычным преобразованиям координат или векторов. В связи с этим рассмотрим еще действительные матрицы НП  $F_1$ , описывающие преобразование координат  $x, y, z$ . Матрицы преобразования тензоров, описывающих в общем случае ПП, могут быть получены индуктивно из закона преобразования координат, не вызывая принципиальных трудностей. Преобразования координат в общем виде можно представить так [9, 11]:

$$x = l_1 x' + l_2 y' + l_3 z' \quad y = m_1 x' + m_2 y' + m_3 z' \quad z = n_1 x' + n_2 y' + n_3 z',$$

где  $l_i, m_i, n_i$  — направляющие косинусы новых осей ( $x', y', z'$ ) по отношению к старым ( $x, y, z$ ), которые через углы Эйлера выражаются следующим образом:

$$\begin{aligned} l_1 &= \cos \alpha \cos \gamma - \sin \alpha \cos \beta \sin \gamma, & m_1 &= \sin \alpha \cos \gamma + \cos \alpha \cos \beta \sin \gamma, \\ l_2 &= -\cos \alpha \sin \gamma - \sin \alpha \cos \beta \cos \gamma, & m_2 &= -\sin \alpha \sin \gamma + \cos \gamma \cos \alpha \cos \beta, \\ l_3 &= \sin \alpha \sin \beta, & m_3 &= -\cos \alpha \sin \beta, \\ n_1 &= \sin \beta \sin \gamma, & n_2 &= \sin \beta \cos \gamma, & n_3 &= \cos \beta. \end{aligned} \quad (5)$$

Подставляя в (5) значения  $\alpha = 72^\circ$ ,  $\beta = \gamma = 0$  и  $\alpha = \gamma = 18^\circ$ ,  $\sin \beta = (1/2) \cdot \cos \beta = 1/\sqrt{5}$ , получим соответственно матрицы для элементов № 2 и 5. Отметим, наконец, связь между функциями  $\varphi_M^1$ , реализующими комплексное НП  $F_1$ , и координатами  $x, y, z$ :  $\varphi_{\mp 1}^1 = \pm x - iy$ ,  $\varphi_0^1 = \sqrt{2}z$ .

Полученные описанными выше методами матрицы генерирующих элементов для всех НП систематизированы в Приложении. Используя эти данные в табл. 2, 4 мы получили матрицы всех элементов всех НП групп  $Y, Y_h, Y', Y'_h$ .<sup>4</sup> С помощью соответствующих критериев правильность матриц была проверена, и многие из них уже опробованы в работе. Из явных выражений матриц, приведенных в Приложении, видно, что содержащиеся в них МЭ крайне громоздки. Если еще учесть, что размерности матриц достаточно велики, можно заключить, что их многократное непосредственное перемножение в соответствии с табл. 2 и 4 практически нереально. В связи с этим нами была разработана программа для ЭВМ, позволившая реализовать в полном объеме получение этих матриц.

Для приложений часто важно знать и матрицы оператора инверсии времени  $\Theta$  для каждого НП. Они получаются на основании приведенных выше результатов. В случае НП  $A, E'_1, F_1, G', H$  и  $I'$ , следующих непосредственно из представлений группы вращений, базисными функциями являются  $\psi_M^J$ . Для них, согласно [12] имеем

$$\Theta \psi_m^J = (-1)^{J-m} \psi_{-m}^J. \quad (6)$$

<sup>4</sup> Из-за недостатка места в журнальной статье мы здесь их не приводим. Они будут опубликованы отдельным изданием.

В случае НП  $E'_2$ ,  $F_2$  и  $G$  в качестве базисных функций можно выбрать линейные комбинации функций  $\psi_M^J$ . Для НП  $F_2$  и  $G$  они приведены в (2) и (4). Для НП  $E'_2$  фактическое разложение ПП  $D_{7/2}$  на неприводимые  $E'_2$  и  $I'$  [3,10] дает

$$\varphi_{1,2}^{E'_2} = \sqrt{3/10} \psi_{\mp 7/2}^{7/2} \mp \sqrt{7/10} \psi_{\pm 3/2}^{7/2}. \quad (7)$$

Совместное применение формул (2), (4), (6) и (7) позволяет без труда найти закон преобразования функций  $\varphi_i^{E'_2}$ ,  $\varphi_j^{F_2}$  и  $\varphi_k^G$  под действием оператора  $\Theta$ .

В заключение отметим, что в литературе [13,14] для ряда элементов и некоторых НП и групп ИС также приводятся матрицы НП. Сопоставление соответствующей части наших результатов с этими данными оказалось, однако, затруднительным в силу выбора различных базисов, которые в этих работах не указываются, и наличия в них неточностей (например, сумма диагональных элементов матриц в ряде случаев не совпадает с характерами).

Работа выполнена при поддержке Госкомитета по науке и технологии Украины.

## ПРИЛОЖЕНИЕ. Матрицы генерирующих элементов № 2 и 5 ГИ<sup>5</sup>

### a) Однозначные НП

НП  $A$  № 2=(1), № 5=(1).

НП  $F_1$  (комплексное)

$$\begin{array}{c} \text{№ 2} \\ \left( \begin{array}{ccc} c_7^* & 0 & 0 \\ 0 & 1 & 0 \\ 0 & 0 & c_7 \end{array} \right), \quad \begin{array}{c} \text{№ 5} \\ \left( \begin{array}{ccc} c_{27}^* & c_{21} & -a_4^- \\ c_{21} & a_2 & -c_{21}^* \\ -a_4^- & -c_{21}^* & c_{27} \end{array} \right), \end{array} \end{array}$$

НП  $F_1$  (действительное)

$$\begin{array}{c} \text{№ 2} \\ \left( \begin{array}{ccc} a_8 & -a_6 & 0 \\ a_6 & a_8 & 0 \\ 0 & 0 & 1 \end{array} \right), \quad \begin{array}{c} \text{№ 5} \\ \left( \begin{array}{ccc} a_9 & -a_7 & a_4^- \\ a_7 & a_8 & -a_5 \\ a_4^- & a_5 & a_2 \end{array} \right). \end{array} \end{array}$$

НП  $F_2$

$$\begin{array}{c} \text{№ 2} \\ \left( \begin{array}{ccc} -c_6 & 0 & 0 \\ 0 & 1 & 0 \\ 0 & 0 & -c_6^* \end{array} \right), \quad \begin{array}{c} \text{№ 5} \\ \left( \begin{array}{ccc} -c_{28}^* & -c_{20}^* & -a_4^+ \\ -c_{20}^* & -a_2 & c_{20} \\ -a_4^+ & c_{20} & -c_{28} \end{array} \right). \end{array} \end{array}$$

<sup>5</sup> Для удобства введены следующие общие обозначения: буквой  $a$ ; обозначены только действительные, буквой  $b_i$  — мнимые и буквой  $c$  — комплексные МЭ.

$$\begin{array}{c} \text{№ 2} \\ \left( \begin{array}{ccccc} -c_6^* & 0 & 0 & 0 \\ 0 & c_7^* & 0 & 0 \\ 0 & 0 & c_7 & 0 \\ 0 & 0 & 0 & -c_6 \end{array} \right), \quad \begin{array}{c} \text{№ 5} \\ \left( \begin{array}{ccccc} -c_{17} & -c_1^* & c_2^2 & a_2 \\ -c_{16}^* & -a_2 & c_2 & c_2 \\ c_2^* & -c_{16} & -c_1 & -c_1^* \\ a_2 & c_2 & -c_{17} & -c_{17}^* \end{array} \right). \end{array} \end{array}$$

III H

$$\begin{array}{c} \text{№ 2} \\ \left( \begin{array}{ccccc} -c_6 & 0 & 0 & 0 & 0 \\ 0 & c_7^* & 0 & 0 & 0 \\ 0 & 0 & 1 & 0 & 0 \\ 0 & 0 & 0 & c_7 & 0 \\ 0 & 0 & 0 & 0 & -c_6^* \end{array} \right), \quad \begin{array}{c} \text{№ 5} \\ \left( \begin{array}{ccccc} c_{10}^* & c_{24} & -c_{22}^* & -c_{25} & a_3^- \\ c_{24} & -c_{11}^* & c_{23} & -a_3^+ & c_{25}^* \\ -c_{22}^* & c_{23} & -a_1 & -c_{23}^* & -c_{22} \\ -c_{25} & -a_3^+ & -c_{23}^* & -c_{11} & -c_{24}^* \\ a_3^- & c_{25}^* & -c_{22} & -c_{24}^* & c_{10} \end{array} \right). \end{array} \end{array}$$

b) Двузначные III

III E'\_1

III E'\_2

$$\begin{array}{c} \text{№ 2} \\ \left( \begin{array}{cc} c_6^* & 0 \\ 0 & c_6 \end{array} \right), \quad \begin{array}{c} \text{№ 5} \\ \left( \begin{array}{cc} c_8^* & b_3^- \\ b_3 & c_8 \end{array} \right). \end{array} \quad \begin{array}{c} \text{№ 2} \\ \left( \begin{array}{cc} -c_7^* & 0 \\ 0 & -c_7 \end{array} \right), \quad \begin{array}{c} \text{№ 5} \\ \left( \begin{array}{cc} -c_9 & b_3^+ \\ b_3^+ & -c_9^* \end{array} \right). \end{array} \end{array}$$

III G'

$$\begin{array}{c} \text{№ 2} \\ \left( \begin{array}{ccccc} -c_7 & 0 & 0 & 0 & 0 \\ 0 & c_6^* & 0 & 0 & 0 \\ 0 & 0 & c_6 & 0 & 0 \\ 0 & 0 & 0 & -c_7^* & 0 \end{array} \right), \quad \begin{array}{c} \text{№ 5} \\ \left( \begin{array}{ccccc} c_{12}^* & c_4 & -c_5^* & -b_1^- & \\ c_4 & c_{13}^* & b_1^+ & -c_5 & \\ -c_5^* & b_1^+ & c_{13} & -c_4^* & \\ -b_1^- & -c_5 & -c_4^* & c_{12} & \end{array} \right). \end{array} \end{array}$$

III I'

$$\begin{array}{c} \text{№ 2} \\ \left( \begin{array}{cccccc} -1 & 0 & 0 & 0 & 0 & 0 \\ 0 & -c_7 & 0 & 0 & 0 & 0 \\ 0 & 0 & c_6^* & 0 & 0 & 0 \\ 0 & 0 & 0 & c_6 & 0 & 0 \\ 0 & 0 & 0 & 0 & -c_7^* & 0 \\ 0 & 0 & 0 & 0 & 0 & -1 \end{array} \right) \end{array}$$

№ 5

$$\left( \begin{array}{cccccc} -b_4^+ & c_{26} & -c_3^* & -c_{19} & c_{13}^* & b_4^- \\ c_{26} & -c_{15}^* & c_{19} & -c_{18}^* & -b_2^+ & c_{13} \\ -c_3^* & c_{19} & -c_{14}^* & b_2^- & -c_{18} & c_{19}^* \\ -c_{19} & -c_{18}^* & b_2^- & -c_{14} & -c_{19}^* & -c_3 \\ c_{13}^* & -b_2^+ & -c_{18} & -c_{19}^* & -c_{15} & -c_{26}^* \\ b_4^- & c_{13} & c_{19} & -c_3 & -c_{26}^* & b_4^+ \end{array} \right).$$

$$\begin{aligned}
 a_1 &= 1/5, & a_6 &= R^+/2q, & b_1^\pm &= iN^\pm/5, \\
 a_2 &= 1/p, & a_7 &= R^+/2qp, & b_2^\pm &= iR^\pm/5q, \\
 a_3^\pm &= (3 \pm p)/10, & a_8 &= (p - 1)/4, & b_3^\pm &= iR^\pm/pq, \\
 a_4^\pm &= (p \pm 1)/2p, & a_9 &= (3p + 1)/4p, & b_4^\pm &= iU^\pm/5pq, \\
 a_5 &= R^+/qp,
 \end{aligned}$$

$$\begin{aligned}
 c_{1,2} &= a_2/2 + iN^\pm/2p, & c_{16,17} &= a_4^\pm/2 + b_3^\mp/2, \\
 c_3 &= 1/qp + iN^+/5q, & c_{18,19} &= a_4^\pm/q + qb_2^\mp/2, \\
 c_{4,5} &= t/2p + itN^\pm/10, & c_{20,21} &= a_4^\pm/q + qb_3^\mp/2, \\
 c_{6,7} &= (p \pm 1)/4 + iR^\mp/2q, & c_{22,23} &= t(p \pm 1)/10q + itR^\mp/10, \\
 c_{8,9} &= (p \pm 1)/4 + iR^\mp/2pq, & c_{24,25} &= a_3^\pm + b_2^\pm, \\
 c_{10,11} &= (p \pm 1)/20 + iU^\pm/10q, & c_{26} &= (3 + p)/4p + b_2^+/2, \\
 c_{12,13} &= a_4^\pm/2 + pb_4^\pm/2, & c_{27,28} &= (3 \pm p)/4p + b_3^\pm/2, \\
 c_{14,15} &= a_4^\pm/2 + b_2^\mp/2,
 \end{aligned}$$

$i^* = \sqrt{-1}, \quad p = \sqrt{5}, \quad t = \sqrt{3}, \quad q = \sqrt{2}, \quad R^\pm = \sqrt{5 \pm p},$   
 $N^\pm = \sqrt{5 \pm 2p}, \quad U^\pm = \sqrt{25 \pm 11p},$

\* — знак комплексного сопряжения.

### Список литературы

- [1] Хамермеш Н. Теория групп. М. (1966). 587 с.
- [2] Ландау Л.Д., Лифшиц Е.М. Квантовая механика. М. (1989). 767 с.
- [3] Любарский Г.Я. Теория групп и ее приложение в физике. М. (1957). 354 с.
- [4] Ройцин А.Б. Природа, 8, 10 (1993).
- [5] Judd B.R. Proc. Roy. Soc. Ser. A **241**, 1224, 122 (1957); McLellan A.G. J. Chem. Phys. **34**, 4, 1350 (1961).
- [6] Локтев В.М. ФНТ **18**, 3, 217 (1992).
- [7] Bethune D.S., Johnson R.D., Salem J.R., de Vries M.S., Yannoni C.S. Monthly nature **1**, 11, 67 (1993); Елецкий А.В. УФН **164**, 9, 1007 (1994).
- [8] Dresselhaus G., Dresselhaus M.S., Eklund P.C. Phys. Rev. B **5**, 12, 6923 (1992); Satpathy S., Antropov V.P., Andersen O.K., Jepsen O., Gunnarsson O., Liechtenstein A.I. Phys. Rev. B **46**, 3, 1773 (1992); Martins J.L., Troullier N. Phys. Rev. B **46**, 3, 1754 (1992).
- [9] Смирнов В.И. Курс высшей математики. М. (1958). Т. 3. Ч. 1. 328 с.
- [10] Ройцин А.Б. Некоторые применения теории симметрии в задачах радиоспектроскопии. Киев (1973). 100 с.
- [11] Бронштейн И.Н., Семенджиев К.А. Справочник по математике. М. (1964). 609 с.
- [12] Вигнер Е. Теория групп. М. (1961). 444 с.
- [13] Raynal J. J. Math. Phys. **25**, 5, 1187 (1984).
- [14] Weeks D.E., Harter W.G. J. Chem. Phys. **90**, 9, 4744 (1989).